

به نام خدا



دانشگاه تهران

پردیس دانشکده‌های فنی

دانشکده مهندسی برق و کامپیوتر

## آزمایشگاه سیستم‌های کنترل خطی

### پیش‌گزارش آزمایش شماره ۵

محیا شهشهانی -- شیرین جمشیدی

۸۱۰۱۹۹۵۷۰ -- ۸۱۰۱۹۹۵۹۸

گروه ۵

اردیبهشت ماه ۱۴۰۲

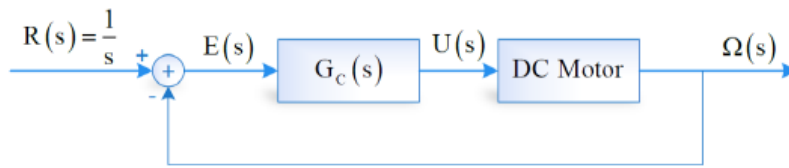
## فهرست

عنوان	شماره صفحه
چکیده	۳
بخش ۱	۴
بخش ۲	۵
بخش ۳	۶
بخش ۴	۷
بخش ۵	۸
بخش ۶	۱۰
پیوست	۱۱
منابع	۱۲

## چکیده

در این آزمایش هدف تنظیم سرعت موتور DC با استفاده از کنترل کننده‌های  $P$ ،  $PI$ ،  $PD$ ،  $PID$  و پیش‌فاز و پس‌فاز می‌باشد. در آزمایش دوم با پیاده‌سازی مدارهای آنالوگ آشنا شدیم. در این آزمایش، برای پیاده‌سازی کنترل کننده‌ها باید مدارهای نسبتاً پیچیده‌تری را پیاده‌سازی کنیم.

## بخش ۱) کنترل کننده تناسبی (K)



شکل ۱: سیستم حلقه بسته با کنترل کننده  $G_c(s)$

که تابع تبدیل موتور DC،  $G(s) = \frac{1.42}{1+1.65s}$  میباشد.

$R(s) - \Omega(s)$  ; While  $\Omega(s) = R(s)H(s)$  خطای تنظیم سرعت موتور

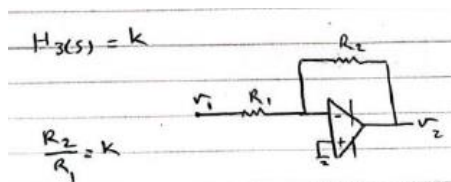
ابتدا تابع تبدیل حلقه بسته را محاسبه میکنیم:

$$\text{Closed loop transfer function: } H(s) = \frac{k_c \frac{1.42}{1+1.65s}}{1 + k_c \frac{1.42}{1+1.65s}} = \frac{1.42k_c}{1.65s + 1 + 1.42k_c}$$

$$E(s) = R(s) - R(s)H(s) = R(s)(1 - H(s)) = \frac{1}{s} \left( 1 - \frac{1.42k_c}{1.65s + 1 + 1.42k_c} \right) = \frac{1}{s} \left( \frac{1.65s + 1}{1.65s + 1 + 1.42k_c} \right)$$

$$E_{ss} = \lim_{s \rightarrow 0} sE(s) = s * \frac{1}{s} \left( \frac{1.65s + 1}{1.65s + 1 + 1.42k_c} \right) = \frac{1}{1 + 1.42k_c}$$

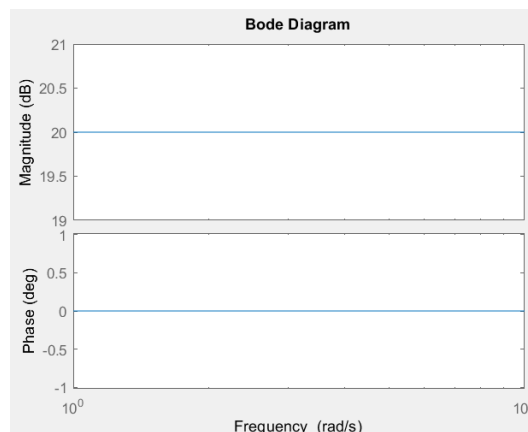
همانطور که میبینیم این خطای رابطه‌ی عکس با بهره سیستم دارد و هرچه ثابت  $k_c$  بزرگتر شود، مقدار خطا کمتر میشود. این کنترلر خطای حالت ماندگار و پایداری را بهبود میبخشد.



شکل ۲-۱

همانطور که پیش‌تر در پیش‌گزارش ۳ نوشته‌ایم، برای تحقق اکتیو کنترلر تناسبی، خواهیم داشت:

به ازای  $k_c = 10$ ، نمودار بود کنترلر خواهد شد:



نمودار ۱-۱  
۴

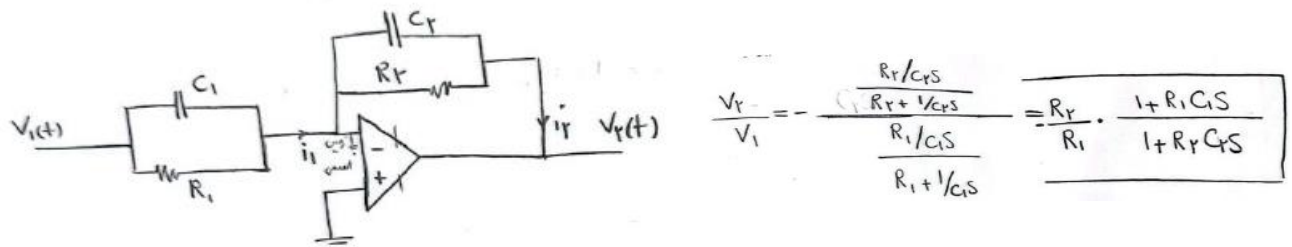
## بخش ۲) کنترل کننده تناسبی-مشتق گیر (PD)

با جایگزین کردن  $k_p + k_D s$  به جای  $k_c$  در بخش قبل، برای خطای تنظیم سرعت موتور خواهیم داشت:

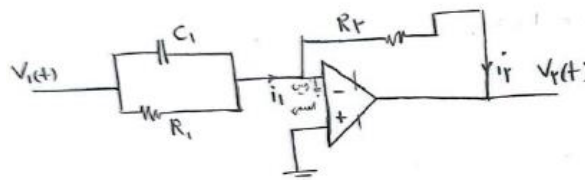
$$E_{ss} = \lim_{s \rightarrow 0} sE(s) = s * \frac{1}{s} \left( \frac{1.65s + 1}{1.65s + 1 + 1.42(k_p + k_D s)} \right) = \frac{1}{1 + 1.42k_p}$$

مانند بخش قبل، این خطا رابطه‌ی عکس با بهره سیستم دارد و هرچه ثابت  $k_p$  بزرگتر شود، مقدار خطا کمتر میشود. اما بهره‌ی  $k_D$  بر خطای حالت دائم تاثیری ندارد. با استفاده از PD سیستم سریعتر میشود. البته دمپینگ افزایش پیدا میکند.

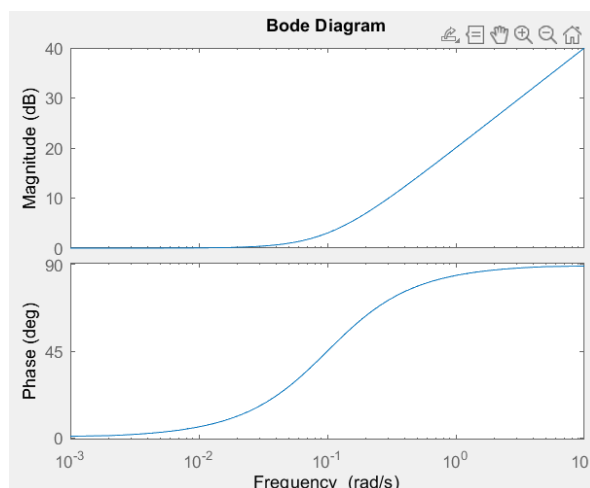
طبق چیزی که در پیش‌گزارش ۳ اثبات کردیم:



کافیست برای تحقق اکتیو کنترل کننده PD، مقدار خازن  $C_2$  را صفر قرار دهیم. انگاه  $k_p = \frac{R_2}{R_1}$  و  $k_D = R_2 C_1$



به ازای  $k_p = 10$  و  $k_D = 1$ ، نمودار بود کنترلر خواهد شد:



نمودار ۲-۱

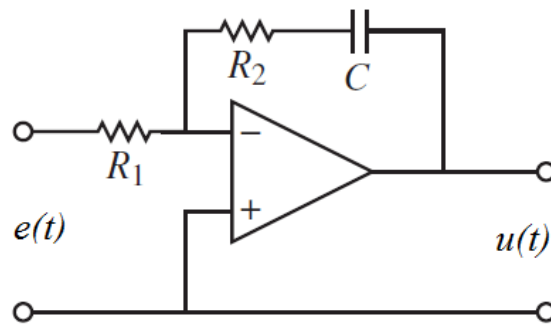
### بخش ۳) کنترل کننده تناسبی-انتگرال گیر (PI)

با جایگزین کردن  $k_p + \frac{k_I}{s}$  به جای  $k_c$  در بخش ۱، برای خطای تنظیم سرعت موتور خواهیم داشت:

$$E_{ss} = \lim_{s \rightarrow 0} sE(s) = s * \frac{1}{s} \left( \frac{1.65s + 1}{1.65s + 1 + 1.42(k_p + \frac{k_I}{s})} \right) = 0$$

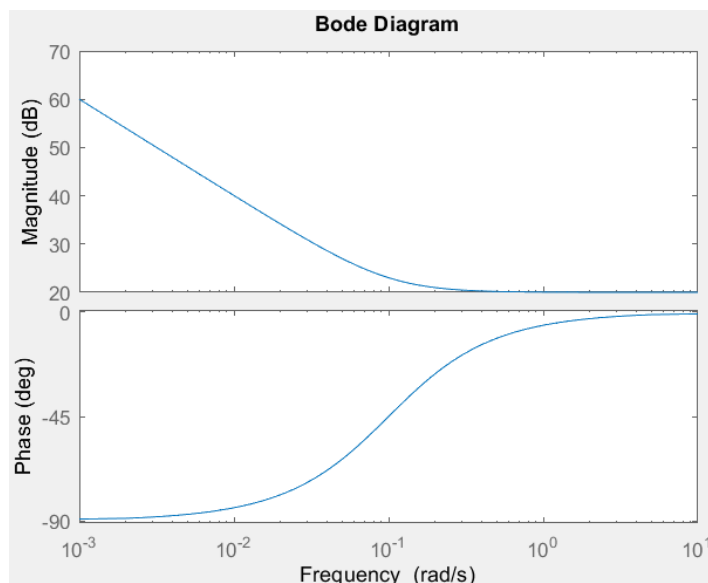
کنترل کننده مرتبه ۱ می باشد و ورودی پله می باشد و خطای حالت ماندگار همواره صفر می باشد. پس پارامترهای بهره تناسبی کنترل کننده و ثابت زمانی مشتق گیر، تاثیری در خطای حالت ماندگار سیستم نخواهند داشت. (مگر اینکه  $k_I = 0$  و انگاه کنترلر همان کنترلر بخش ۱ خواهد شد.) به طور کلی کنترل کننده تناسبی انتگرال گیر (PI) خطای حالت ماندگار را کاهش می دهد. (و البته تعقیب بهتر داریم) پایداری سیستم کمتر است.

تحقق اکتیو کنترلر PI:



شکل ۱-۳

به ازای  $k_p=10$  و  $k_I=1$ ، نمودار بود کنترلر خواهد شد:



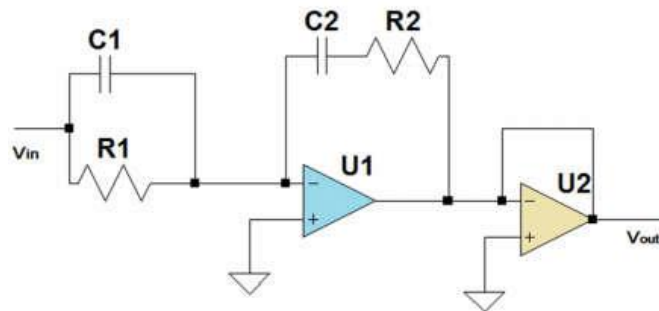
نمودار ۱-۳

## بخش ۴) کنترل کننده تناسبی-انتگرال گیر-مشتق گیر (PID)

با جایگزین کردن  $k_D s + k_P + \frac{k_I}{s}$  به جای  $k_c$  در بخش ۱، برای خطای تنظیم سرعت موتور خواهیم داشت:

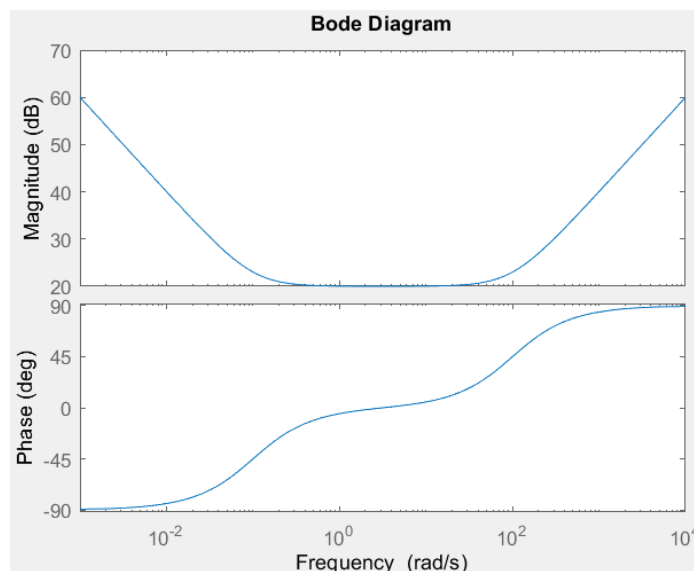
$$E_{ss} = \lim_{s \rightarrow 0} sE(s) = s * \frac{1}{s} \left( \frac{1.65s + 1}{1.65s + 1 + 1.42(k_P + \frac{k_I}{s} + k_D s)} \right) = 0$$

کنترل کننده مرتبه ۲ می باشد و خطای حالت ماندگار همواره صفر میباشد. پس پارامترهای بهره تناسبی کنترل کننده و ثابت زمانی انتگرال گیر و ثابت زمانی مشتق گیر، تاثیری در خطای حالت ماندگار سیستم نخواهند داشت. (مگر اینکه  $k_I = 0$  و انگاه کنترلر همان کنترلر بخش ۲ خواهد شد).  
و البته در کل در این نوع کنترلر تعقیب بهتر رفتار فرکانس پایین سیستم و اصلاح خطا را اصلاح و کاهش Peak overshoot را داریم. Gain نیز پایدارتر خواهد بود.  
تحقق اکتیو کنترلر PID:



شکل ۴-۱

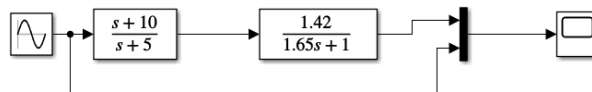
به ازای  $k_P=10$  و  $k_I=1$  و  $k_D=0.1$ ، نمودار بود کنترلر خواهد شد:



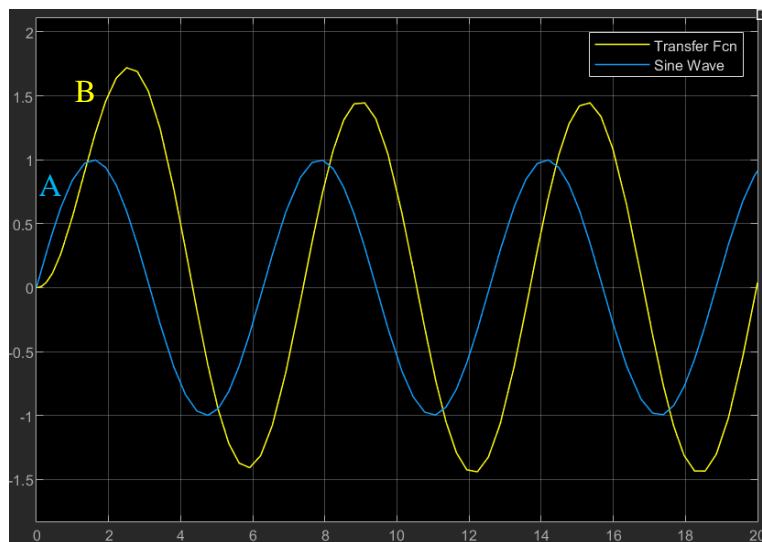
نمودار ۴-۱

## بخش ۵) کنترل کننده پس فاز (lag)

- پس از بستن جبران کننده پس فاز برای این مدار، از مقایسه شکل موج های ورودی و خروجی به خوبی مشاهده میکنیم که شکل موج خروجی جلوتر از سینوس ورودی قرار دارد. یعنی میزان اکستریمم خروجی پس از یک تاخیر زمانی نسبت به ورودی رخ میدهد. پس فاز بودن به معنای اختلاف فاز و به تاخیر افتادن خروجی کاملاً محقق شده است.



شکل ۵-۱



نمودار ۵-۱

$$\text{Closed loop transfer function: } H(s) = \frac{G_c \frac{1.42}{1+1.65s}}{1 + G_c \frac{1.42}{1+1.65s}} = \frac{1.42G_c}{1.65s+1+1.42G_c}$$

$$H(s) = \frac{1.42 \frac{s+10}{s+5}}{1.65s+1+1.42 \frac{s+10}{s+5}} = \frac{1.42s+14.2}{1.65s^2+10.67s+19.2}$$

در کنترل کننده پس فاز  $|z|$  بزرگتر از  $|p|$  است. در نتیجه اختلاف فازی که در صورت و مخرج داریم منفی خواهد بود که همین منجر به ایجاد تاخیر و عملاً پس فاز بودن می شود.

- در صورت استفاده از کنترل کننده پس فاز خطای تنظیم سرعت موتور به صورت زیر خواهد بود:



$$E(s) = R(s) - R(s)H(s) = R(s)(1 - H(s)) = \frac{1}{s} \left( 1 - \frac{1.42s + 14.2}{1.65s^2 + 10.67s + 19.2} \right) = \frac{1}{s} \left( \frac{1.65s^2 + 9.25s + 5}{1.65s^2 + 10.67s + 19.2} \right)$$

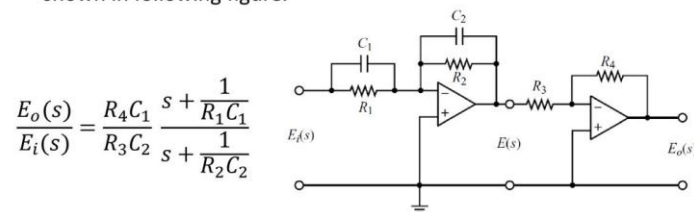
$$E_{ss} = \lim_{s \rightarrow 0} sE(s) = s * \frac{1}{s} \left( \frac{1.65s + 1}{1.65s + 1 + 1.42 \frac{s+z}{s+p}} \right) = \frac{1}{1 + 1.42 \frac{s+z}{s+p}} = \frac{p}{p + 1.42z}$$

اگر صفر از قطب دورتر باشد، خطای ماندگار سیستم کمتر خواهد بود. در این کنترلر نسبت  $\frac{z}{p}$  همواره بزرگتر از یک است پس هرچه نسبت محل صفر به محل قطب را بیشتر کنیم مخرج کسر بزرگتر شده خطای ماندگار کمتری خواهیم داشت.

- تحقق اکتیو برای کنترل کننده پس فاز:

## Electronic Lag Compensator

- The configuration of the electronic lag compensator using operational amplifiers is the same as that for the lead compensator shown in following figure.



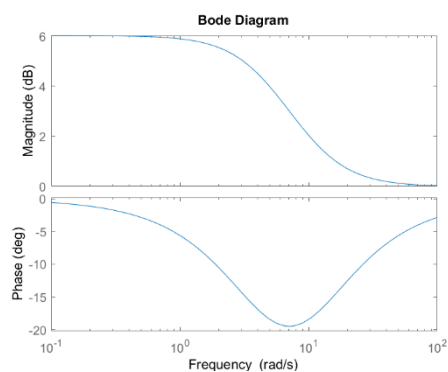
$$\frac{E_o(s)}{E_i(s)} = \frac{R_4 C_1}{R_3 C_2} \frac{s + \frac{1}{R_1 C_1}}{s + \frac{1}{R_2 C_2}}$$

شکل ۲-۵

$$T = R_1 C_1 \quad \beta T = R_2 C_2 \quad K_c = \frac{R_4 C_1}{R_3 C_2} \quad R_2 C_2 > R_1 C_1$$

11

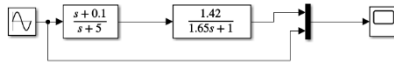
- نمودار بد:



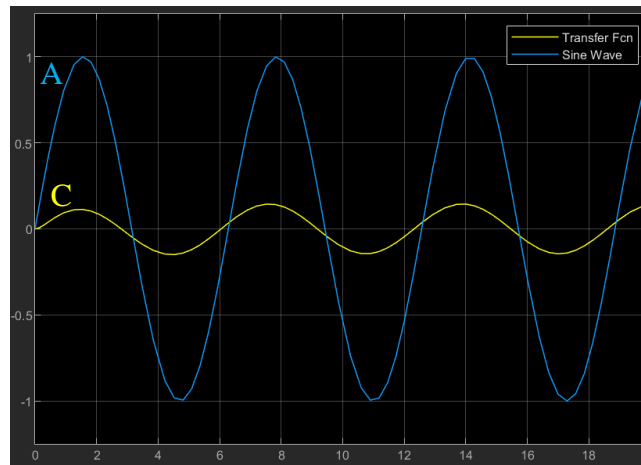
نمودار ۲-۵

## بخش ۶) کنترل کننده پیش فاز (lead)

- پس از بستن مدار مشاهده میکنیم که شکل موج خروجی با اختلاف فازی از ورودی عقب می افتد.



شکل ۶-۱



نمودار ۶-۱

در واقع اسم lag و lead یا همان پیش فاز و پس فاز از همین جا می آید.

C lags A. B leads A.

$$\text{Closed loop transfer function: } H(s) = \frac{G_c \frac{1.42}{1+1.65s}}{1+G_c \frac{1.42}{1+1.65s}} = \frac{1.42G_c}{1.65s+1+1.42G_c}$$

$$H(s) = \frac{1.42 \frac{s+0.1}{s+5}}{1.65s+1+1.42 \frac{s+0.1}{s+5}} = \frac{1.42s+0.142}{1.65s^2+10.67s+5.142}$$

- در صورت استفاده از کنترل کننده پیش فاز خطای تنظیم سرعت موتور به صورت زیر خواهد بود:

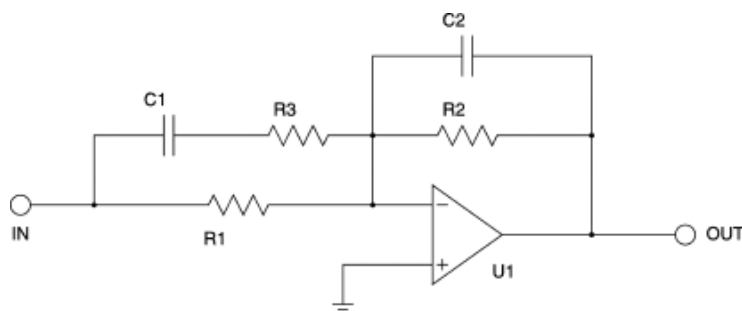
$$E(s) = R(s) - R(s)H(s) = R(s)(1-H(s)) = \frac{1}{s} \left( 1 - \frac{1.42s+0.142}{1.65s^2+10.67s+5.142} \right) = \frac{1}{s} \left( \frac{1.65s^2+9.25s+5}{1.65s^2+10.67s+5.142} \right)$$

$$E_{ss} = \lim_{s \rightarrow 0} sE(s) = s * \frac{1}{s} \left( \frac{1.65s+1}{1.65s+1+1.42 \frac{s+z}{s+p}} \right) = \frac{1}{1+1.42 \frac{s+z}{s+p}} = \frac{p}{p+1.42z}$$

فرم تابع تبدیل برای پیش فاز و پس فاز یکی است تنها نسبت اندازه قطب به صفر متفاوت است. در پیش فاز  $|p|$  بزرگتر از  $|z|$  است.

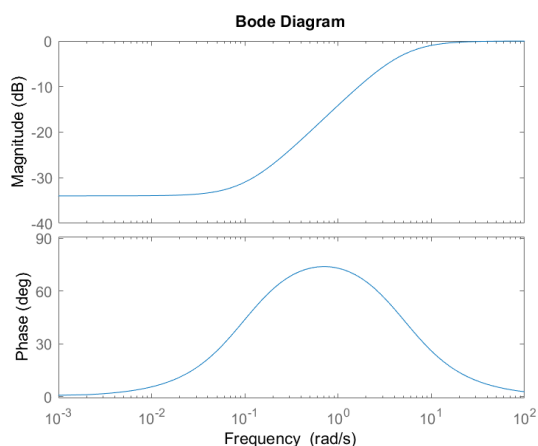
$$\frac{p}{p + 1.42z} = \frac{1}{1 + \frac{z}{p} 1.42}$$

هرچه مخرج بزرگتر باشد، میزان خطا کمتر خواهد شد. در حالت پیش فاز اندازه محل صفر کوچکتر از محل قطب است. نسبت  $\frac{z}{p}$  همواره کوچکتر از یک است. کمینه خطا زمانی رخ میدهد که اندازه محل صفر و اندازه محل قطب به صورت حدی با یکدیگر برابر باشند.



شکل ۲-۶

• نمودار بد:



نمودار ۲-۶

## روند اجرای برنامه

- نمودارهای بد هر بخش با نام Part x.m در پیوست موجود است.
- برای بخش پس فاز و پیش فاز به ترتیب فایل های سیمولینک part5\_a.slx و part6\_a.slx که جهت دیدن شکل موج به ازای ورودی سینوسی استفاده شد، پیوست شده اند.

١.

[https://www.researchgate.net/figure/Schematic-diagram-for-PI-controller-using-operational-amplifier\\_fig2\\_338104251](https://www.researchgate.net/figure/Schematic-diagram-for-PI-controller-using-operational-amplifier_fig2_338104251)

٢.

[https://www.researchgate.net/figure/Figure-1-op-amp-circuit-for-PID-control\\_fig1\\_325756599](https://www.researchgate.net/figure/Figure-1-op-amp-circuit-for-PID-control_fig1_325756599)

٣.

<https://www.sciencedirect.com/topics/engineering/lag-compensation>

٤.

<https://slideplayer.com/slide/14685062>